



# Simposio SIRGAS 2016

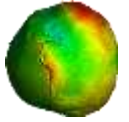
Quito, Ecuador  
Noviembre 16 - 18, 2016

**Análisis de extractos de Modelos Globales del Geopotencial generados punto a punto a partir de una aplicación *standalone***

*Eurico Nicacio & Regiane Dalazoana*

18/11/2016

# Introducción



## ▶ Contextualización

- ▶ **Geodesia** es la ciencia de la determinación de la forma, de la dimensión y del campo de la gravedad en exterior de la Tierra, así como sus respectivas variaciones temporales y otras constantes físicas fundamentales asociadas.

(Adaptado de Hofmann-Wellenhof e Moritz, 2006; Torge e Müller, 2012; e Gemael, 2012)

- ▶ El uso de modernas técnicas de observación del campo gravitacional, ayuntado a un tratamiento analítico y matemático segundo formulación adecuada, permite a los geodesistas obtener valores de las mas variadas funcionales del geopotencial por el estudio de campo de la gravedad de modo global y su desarrollo en armónicos esféricos.

- ▶ Obtención y utilización de Modelos Globales del Geopotencial

$$W(r, \varphi, \lambda) = \frac{GM}{r} \left[ 1 + \sum_{n=2}^{\infty} \sum_{m=0}^n \left(\frac{a}{r}\right)^n (C_{nm} \cos m\lambda + S_{nm} \sin m\lambda) \right] P_{nm}(\sin \varphi) + \frac{1}{3} \omega^2 r^2 [1 - P_{20}(\sin \varphi)]$$

$$W(r, \varphi, \lambda) = \frac{GM}{r} \left[ 1 + \sum_{n=2}^{\infty} \sum_{m=0}^n \left(\frac{a}{r}\right)^n (C_{nm} \cos m\lambda + S_{nm} \sin m\lambda) \right] P_{nm}(\sin \varphi) + \frac{1}{3} \omega^2 r^2 [1 - P_{20}(\sin \varphi)]$$

# Global Gravity Field Models

We kindly ask the authors of the models to check the links to the original websites of the models from time to time. Please let us know if something has changed.

The table can be interactively re-sorted by clicking on the column header fields (Nr, Model, Year, Degree, Data, Reference).

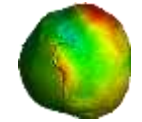
The buttons [calculate](#) and [show](#) in the last columns of the table directly invoke the [Calculation Service](#) and [Visualization page](#) for the selected model.

For models with a registered **doi** ("digital object identifier") the last column contains the symbol [✓](#), which directly opens the page on "http://dx.doi.org/".

The full reference of each model is displayed as 'tooltip' if you move the mouse over the table cell. The complete list of references can be found in the [references section](#).

Nr ▲	Model <a href="#">↕</a>	Year ↕	Degree ↕	Data <a href="#">↕</a>	Reference <a href="#">↕</a>	download	calculate	show	doi
158	<a href="#">HUST-Grace2016s</a>	2016	160	S(Grace)	Zhou Hao et al, 2016	<a href="#">gfc zip</a>	<a href="#">calculate</a>	<a href="#">show</a>	✓
157	<a href="#">ITU_GRACE16</a>	2016	180	S(Grace)	Akyilmaz et al, 2016b	<a href="#">gfc zip</a>	<a href="#">calculate</a>	<a href="#">show</a>	✓
156	<a href="#">ITU_GGC16</a>	2016	280	S(Grace,Goce)	Akyilmaz et al, 2016a	<a href="#">gfc zip</a>	<a href="#">calculate</a>	<a href="#">show</a>	✓
155	<a href="#">EIGEN-6S4v2</a>	2016	300	S(Goce,Grace,Lageos)	Förste et al, 2016	<a href="#">gfc zip</a>	<a href="#">calculate</a>	<a href="#">show</a>	✓
154	<a href="#">GOCO05c</a>	2016	720	S,G,A (see model)	Pail, et al. 2016	<a href="#">gfc zip</a>	<a href="#">calculate</a>	<a href="#">show</a>	✓
153	<a href="#">GGM05C</a>	2016	360	S(Grace,Goce),G,A	Ries et al, 2016	<a href="#">gfc zip</a>	<a href="#">calculate</a>	<a href="#">show</a>	✓
152	<a href="#">GECO</a>	2015	2190	S(Goce),EGM2008	Gilardoni et al, 2015	<a href="#">gfc zip</a>	<a href="#">calculate</a>	<a href="#">show</a>	
151	<a href="#">GGM05G</a>	2015	240	S(Grace,Goce)	Bettadpur et al, 2015	<a href="#">gfc zip</a>	<a href="#">calculate</a>	<a href="#">show</a>	
150	<a href="#">GOCO05s</a>	2015	280	S(see model)	Mayer-Gürr, et al. 2015	<a href="#">gfc zip</a>	<a href="#">calculate</a>	<a href="#">show</a>	
149	<a href="#">GO_CONS_GCF_2_SPW_R4</a>	2014	280	S(Goce)	Gatti et al, 2014	<a href="#">gfc zip</a>	<a href="#">calculate</a>	<a href="#">show</a>	
148	<a href="#">EIGEN-6C4</a>	2014	2190	S(Goce,Grace,Lageos),G,A	Förste et al, 2015	<a href="#">gfc zip</a>	<a href="#">calculate</a>	<a href="#">show</a>	✓
147	<a href="#">ITSG-Grace2014s</a>	2014	200	S(Grace)	Mayer-Gürr et al, 2014	<a href="#">gfc zip</a>	<a href="#">calculate</a>	<a href="#">show</a>	
146	<a href="#">ITSG-Grace2014k</a>	2014	200	S(Grace)	Mayer-Gürr et al, 2014	<a href="#">gfc zip</a>	<a href="#">calculate</a>	<a href="#">show</a>	
145	<a href="#">GO_CONS_GCF_2_TIM_R5</a>	2014	280	S(Goce)	Brockmann et al, 2014	<a href="#">gfc zip</a>	<a href="#">calculate</a>	<a href="#">show</a>	
144	<a href="#">GO_CONS_GCF_2_DIR_R5</a>	2014	300	S(Goce,Grace,Lageos)	Bruinsma et al, 2013	<a href="#">gfc zip</a>	<a href="#">calculate</a>	<a href="#">show</a>	
143	<a href="#">JYY_GOCE04S</a>	2014	230	S(Goce)	Yi et al, 2013	<a href="#">gfc zip</a>	<a href="#">calculate</a>	<a href="#">show</a>	
142	<a href="#">GOGRA04S</a>	2014	230	S(Goce,Grace)	Yi et al, 2013	<a href="#">gfc zip</a>	<a href="#">calculate</a>	<a href="#">show</a>	

# Introducción



## ► Contextualización

### Calculation of Gravity File

This is an **Interactive Website** to calculate a selected gravity field functional for a set of grid **computation**!. The computed gridfile is usually available after a few seconds or minutes. T but also file caching and server load. Calculating the functionals **gravity\_disturbance**, **gravi** If you select the option **Image-File**, additionally a postscript plot (also converted to PNG) of t Short explanations for many selectable parameters are displayed with tooltips (for the label **explanation** and **usage** info.

You have to enable **JavaScript** for your browser to use this service. If you don't see it corre Please feel encouraged to send us per **email** wishes for improvements/additions/fixes or co public.

#### Model and Reference Selection

Model Directory: longtime models  
 Model File: eigen-6s2  
 Functional: height\_anomaly\_ell  
 Tide System: use unmodified model  
 Zero Degree Term: yes  
 Reference System: WGS84

Radius: 6378137.0 Flat: 298.257223563 Gm: 3.986004418e+14 Omega

#### Truncation

Maximal Degree: \*\* max degree of model \*\*  
 Start Gentle Cut: \*\* unused \*\*

start computation abort  Image-File  Illumination get grid file get PS file  
 compute 'height\_anomaly\_ell' for 'eigen-6s2' with 65,341 grid points (est. comp. tim

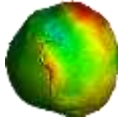
```
generating_institute gfz-potsdam
generating_date 2016/11/01
product_type gravity_field
body earth
modelname eigen-6c4
max_used_degree 2190
tide_system tide_free
functional gravity_earth (centrifugal term included)
unit mgal
refsysname WGS84
gmrefpot 3.98600441800E+14 m**3/s**2
radiusrefpot 6378137.000 m
flatrefpot 3.352810664747480E-03 (1/298.25722356300)
omegarefpot 7.29211500000E-05 1/s
normal_potential 6.263685171456948E+07 m**2/s**2
long_lat_unit degree
latlimit_north -2.000000000000000
latlimit_south -4.500000000000000
longlimit_west 314.5000000000000
longlimit_east 320.0000000000000
gridstep 0.100000000000000E-01
latitude_parallels 251
longitude_parallels 551
number_of_gridpoints 138301
gapvalue 9999999.0000
weighted_mean 9.7800923E+05 mgal
maxvalue 9.7815465E+05 mgal
minvalue 9.7780105E+05 mgal
signal_wrms 3.8108995E+01 mgal
grid_format long_lat_height_value
```

longitude [deg.]	latitude [deg.]	h_over_geoid [meter]	gravity_earth [mgal]
end_of_head	=====	=====	=====
314.5000	-2.0000	33.00	977965.820928757545
314.5100	-2.0000	27.00	977966.603936315863
314.5200	-2.0000	23.20	977966.773852042039
314.5300	-2.0000	23.80	977965.672371760942
314.5400	-2.0000	26.80	977963.927686179872
314.5500	-2.0000	31.00	977961.918102786294
314.5600	-2.0000	24.40	977963.329451016965
314.5700	-2.0000	20.40	977964.052464910899
314.5800	-2.0000	21.60	977963.286711617722

- Obtención de extractos tipo *grid*;
- Posterior interpolación en puntos de interés;
- Resultados con precisión menor que la necesaria en algunas aplicaciones.



# Desarrollo



- ▶ Abordajes para solución del problema

- ▶ Posibles soluciones para situaciones en que la precisión de los resultados es limitante:

1. Realizar cálculo punto-a-punto manualmente en el servicio *web* de ICGEM;



2. Contacto con ICGEM – solicitud de cálculo preciso;



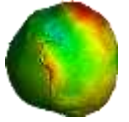
3. Desarrollo de aplicaciones basadas en expansión del geopotencial en armónicos esféricos;



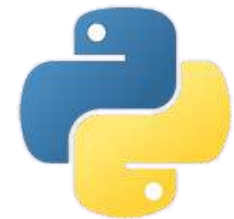
4. Desarrollo de aplicaciones basadas en acceso directo al servicio *web* de ICGEM.



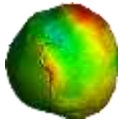
# Desarrollo



- ▶ SPGG - *Single Point GEM [Global Earth Models] Generator*
  - ▶ Denominada por los creadores como SPGG – *Single Point GEM [Global Earth Models] Generator* – la aplicación foco del trabajo está basada en el acceso directo al servicio *web* para obtención de valores puntuales para las funcionales del campo de la gravedad.
  - ▶ La aplicación *standalone* fue desarrollada en lenguaje *Python*, teniendo una interfaz de fácil utilización y de rápido entendimiento para usuarios frecuentes del servicio *web*, ya que la máscara de entrada de los datos es idéntica a la máscara de aquél servicio.



# Desarrollo



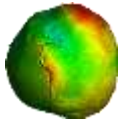
## ▶ SPGG - *Single Point GEM [Global Earth Models] Generator*

The screenshot shows the 'Single-Point GEM Generator' application window. It features a menu bar with 'Geração de Modelo' and 'Sobre'. The main interface is divided into several sections:

- Seleção de Modelo e Referência:** Contains dropdown menus for 'Diretório', 'Modelo', 'Funcional', 'Sistema de Maré', 'Termo Grau Zero', and 'Sistema de Referência'.
- Seleção de pontos:** Includes an 'Abrir...' button and a status indicator 'Não há pontos'.
- Truncamento:** Features a 'Grau máximo' dropdown menu set to '9999'.
- Buttons:** A row of four buttons: 'Testar conexão', 'Gerar modelo', 'Limpar', and 'Atualizar opções'.
- Processamento:** Shows 'Tempo estimado:', 'Status:', and a 'Progresso' bar at 0%.
- Resultado:** Contains 'Abrir resultado' and 'Fechar' buttons.

- Su funcionamiento demanda instalación en el Sistema Operativo Linux y conectividad plena con la internet.
- Datos de entrada según una planilla electrónica de estas cuatro columnas: número identificador del punto, latitud geodésica en grados decimales, longitud geodésica en grados decimales y altura elipsoidal.
- Como resultado, la aplicación retorna una nueva planilla electrónica, de nombre idéntico seguido por el sufijo “*output*”, conteniendo dos columnas: número identificador del punto y valor de la funcional calculada.

# Desarrollo



- ▶ Obtención y ayuda *online*.
- ▶ [www.cienciasgeodesicas.ufpr.br/spgg/](http://www.cienciasgeodesicas.ufpr.br/spgg/)

Single-Point GEM (Global Earth Models) Generator

Introdução

Single-Point GEM Generator - v.1.0

O Gerador de Modelos Terrestres Globais Pontuais [Single-Point GEM (Global Earth Models) Generator] foi desenvolvido pelo 1º Ten. OEM/Cart. EURICO LOURENÇO NICACIO JUNIOR, durante a realização de Mestrado em Ciências Geodésicas no Programa de Pós-Graduação em Ciências Geodésicas da Universidade Federal do Paraná (PPGCC-UFPR).

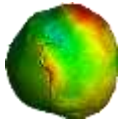
Agradecimentos ao Exército Brasileiro, em especial ao Departamento de Ciência e Tecnologia e à Diretoria de Serviço Geográfico, pela oportunidade de realização do Mestrado com dedicação integral, e ao PPGCC, em especial à Prof.ª Dr.ª Regiane Dalazoana, pela orientação e pela oportunidade de aprendizado e crescimento.

BRASIL ACIMA DE TUDO!

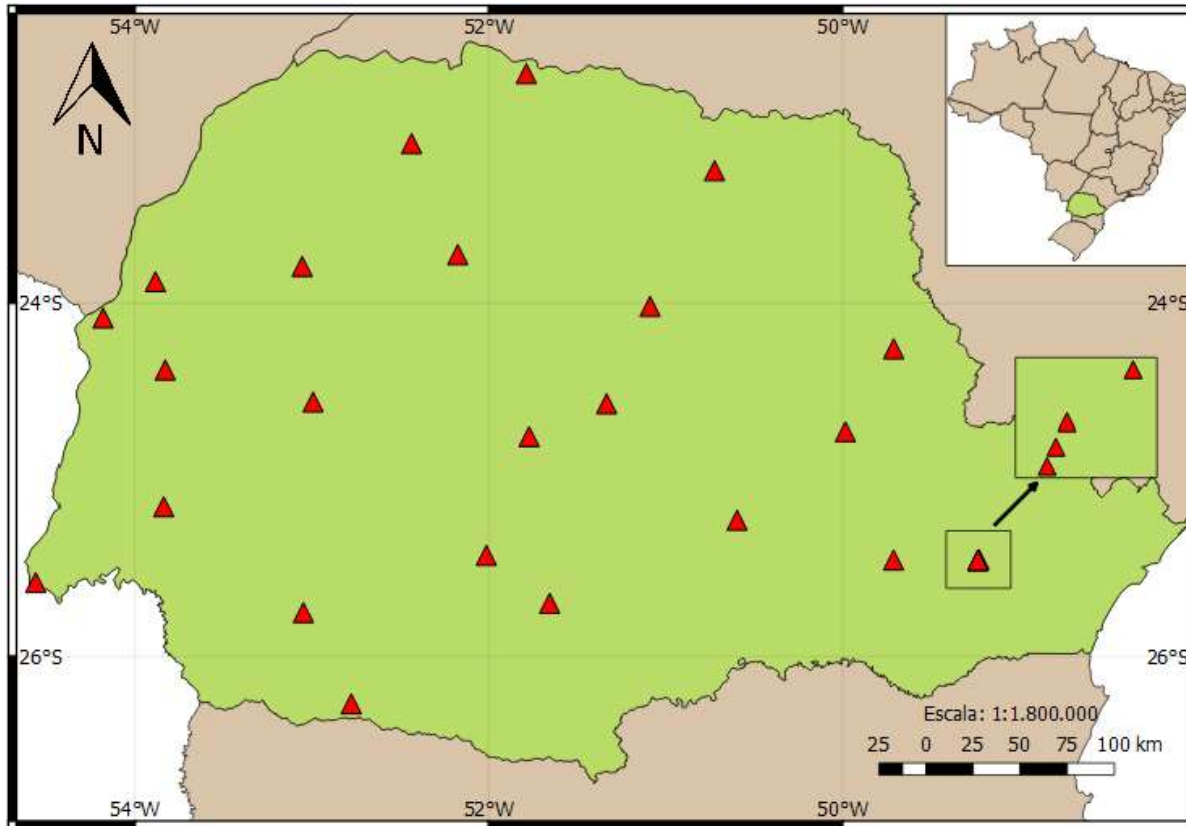
Created with the Personal Edition of Help2Doc: [Generate Kindle eBooks with ease](#)

Copyright © 2016 by Esrico Nicacio. All Rights Reserved.

# Resultados



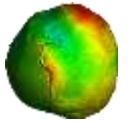
- ▶ Análisis de extractos
- ▶ Realización de teste oficial



- 26 estaciones SAT/GPS do BDG/IBGE, ubicadas en Paraná-Brasil;
- Generación de 3 extractos de MGG, como sigue:

Especificación	Modelo 1	Modelo 2	Modelo 3
Model Directory	Longtime models	Longtime models	Longtime models
Model File	EGM2008	EIGEN-6C4	GGM05C
Functional	Geoid	Geoid	Geoid
Tide System	Tide Free	Tide Free	Tide Free
Zero Degree Term	Yes	Yes	Yes
Reference System	GRS80	GRS80	GRS80
Maximal Degree	2190	360	360

# Resultados



- ▶ Análisis de extractos

- ▶ Realización de teste oficial

- ▶ Extractos punto-a-punto vía contacto con ICGEM – Dr. Franz Barthelmes;

- ▶ Extractos punto-a-punto vía SPGG;

- ▶ Extractos tipo *grid* y posterior interpolación en los puntos de interés;

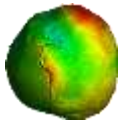
- Nearest – “INTERP1”;
- Linear - “INTERP2”;
- Natural - “INTERP3”;
- Cubic - “INTERP4”;
- V4 - “INTERP5”;

Características del área utilizada:

- limite oeste de longitud 305°;
- limite leste de longitud 312°;
- limite norte de latitud -22.5°;
- limite sur de latitud -26.5°;
- grid step 0,25°.

- Grid Step:
  - 0,25° [15'] : 493 puntos
  - 0,1° [6'] : 2.911 puntos
  - 0,002076° [7''] : 6.497.844 puntos

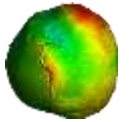
# Resultados



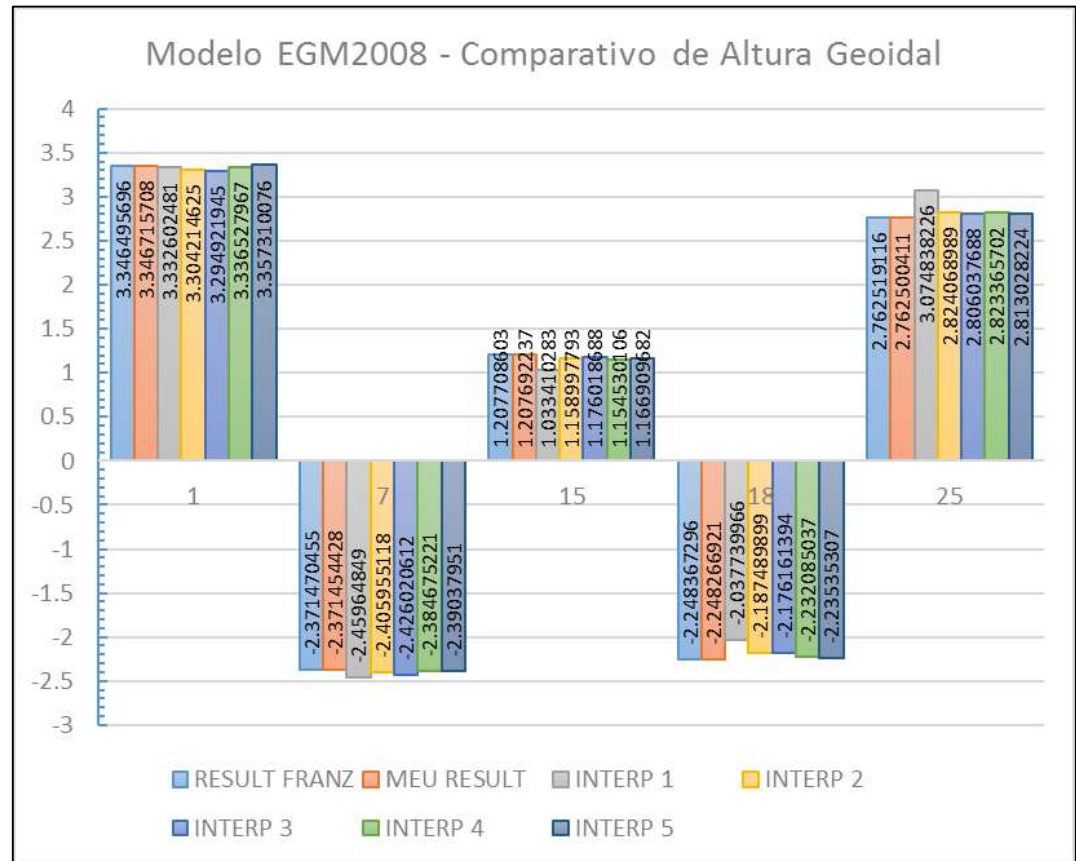
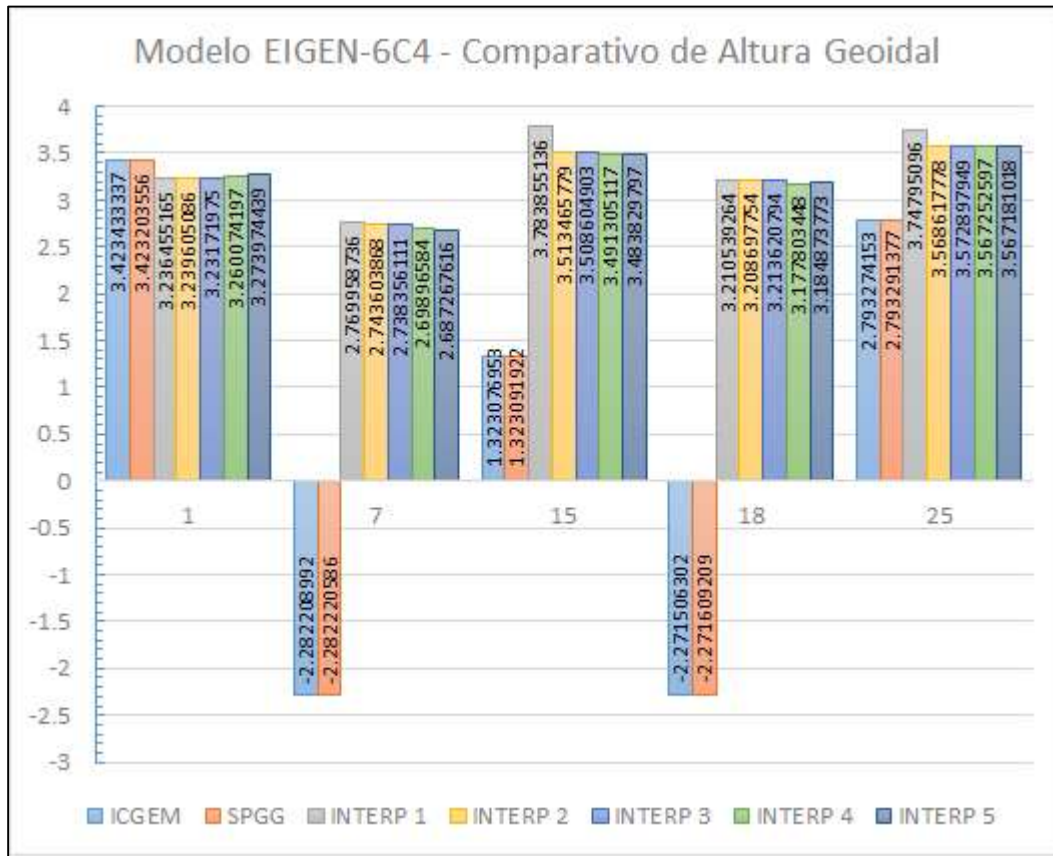
- ▶ Análisis de extractos
  - ▶ Realización de teste oficial

MODELO	COMPARACIÓN	DIF ICGEM - SPGG (mm)	DIF ICGEM - INTERP 1 (mm)	DIF ICGEM - INTERP 2 (mm)	DIF ICGEM - INTERP 3 (mm)	DIF ICGEM - INTERP 4 (mm)	DIF ICGEM - INTERP 5 (mm)
EIGEN-6C4	MÁXIMO	0.259	8442.654	8370.879	8377.008	8372.132	8375.614
	MÉDIO	0.092	2242.937	2199.300	2201.954	2197.885	2194.480
	MÍNIMO	0.002	12.185	18.342	18.384	17.201	25.004
GGM05C	MÁXIMO	0.291	234.550	69.876	72.822	25.546	4.924
	MÉDIO	0.089	85.704	26.117	29.140	5.038	2.280
	MÍNIMO	0.004	5.180	0.050	0.779	0.231	0.059
EGM2008	MÁXIMO	0.251	334.871	158.584	124.065	103.228	55.224
	MÉDIO	0.090	87.309	38.265	42.032	20.771	20.731
	MÍNIMO	0.005	5.651	2.677	2.867	1.282	2.187
GERAL	MÁXIMO	0.291	8442.654	8370.879	8377.008	8372.132	8375.614
	MÉDIO	0.120	1272.338	1209.343	1207.672	1193.702	1186.723
	MÍNIMO	0.002	5.180	0.050	0.779	0.231	0.059

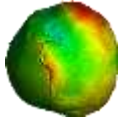
# Resultados



- ▶ Análisis de extractos
- ▶ Realización de teste oficial



# Conclusiones

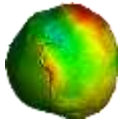


- ▶ Durante el análisis, se verificó que los resultados de la aplicación son prácticamente idénticos a los valores precisos del ICGEM – a menos de diferencias entre décimos y milésimos de milímetros para los casos máximo y mínimo estudiados. También, para las interpolaciones, las diferencias llegan a aproximadamente 8.443 metros.
- ▶ El análisis puede ser expandido para casos generales, no apenas a los de los testes demostrados aquí: teniendo en consideración la forma como los extractos del SPGG son calculados, así como con el conocimiento de otros testes ya realizados, se puede afirmar que los resultados del SPGG son siempre satisfactorios y precisos, presentando diferencias ínfimas al ser comparados a respuestas precisas del ICGEM. La interpolación, sin embargo, puede retornar valores realmente insatisfactorios y aún no compatibles con la realidad.
- ▶ De esta manera, la aplicación punto a punto se muestra como una excelente alternativa para situaciones en que la alta precisión de los resultados es requerida.

# Referencias

- ▶ BARTHELMES, F. (2013). "Definition of Functionals of the Geopotential and Their Calculation from Spherical Harmonic Models". Scientific Technical Report STR09/02. Helmholtz-Zentrum Potsdam, GFZ German Research Centre for Geosciences. DOI: 10.2312/GFZ.b103-0902-26.
- ▶ BARTHELMES, F. & KÖHLER, W. (2016). International Centre for Global Earth Models (ICGEM). In: Drewes, H., Kuglitsch, F. Adám, J. et al., The Geodesists Handbook 2016, Journal of Geodesy (2016), 90(10), 907–1205. DOI: 10.1007/s00190-016-0948-z.
- ▶ GEMAEL, C. (2012). "Introdução à Geodésia Física". Curitiba: Editora UFPR. 304 pp.
- ▶ HOFMANN-WELLENHOF, B. & MORITZ, H. (2006). "Physical Geodesy". Austria: Springer-Verlag Wien. 403 pp.
- ▶ MELO, L. F. S. (2011). "Avaliação de Modelos Globais do Geopotencial para os estados do Maranhão e Piauí". Dissertação de mestrado, Universidade Federal do Paraná, Curitiba, PR, Brasil.
- ▶ NICACIO, E. L. "SPGG - Single Point GEM Generator". (2016). Disponível em: <<http://www.cienciasgeodesicas.ufpr.br/spgg>>
- ▶ TORGE, W. & MÜLLER, J. (2012). "Geodesy". Berlin-Boston: Walter de Gruyter. 433 pp.

# Agradecimientos



- ▶ Ejercito de Brasil – DCT / DSG;
- ▶ PPGCG/UFPR;
- ▶ Prof. Dr. Silvio Rogério Correia de Freitas (SIRGAS GT-III & UFPR);
- ▶ Dr. Franz Barthelmes (ICGEM);
- ▶ Prof.<sup>a</sup> Dr.<sup>a</sup> Regiane Dalazoana (UFPR);
- ▶ Organizadores SIRGAS 2016 & GT-III SIRGAS.



¡Muchas gracias!

